

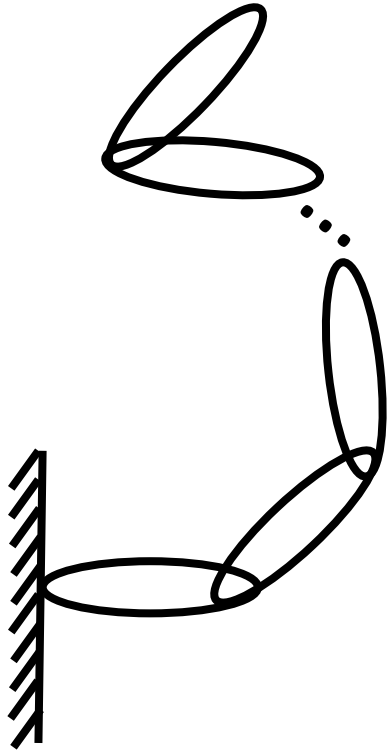
# Simulation des systèmes de solides rigides polyarticulés

## 4- Résolution d'équations différentielles

Charles Pontonnier



# Comportement dynamique d'un système de solides rigides polyarticulés



Soit un système de  $n_b$   
solides polyarticulés avec  $n_q$  liaisons

$$H(\mathbf{q})\ddot{\mathbf{q}} + C(\mathbf{q}, \dot{\mathbf{q}})\dot{\mathbf{q}} + G(\mathbf{q}) = \mathbf{f}_e + \mathbf{f}_a$$

Matrice de masse

Coriolis/centrifuge

Gravité

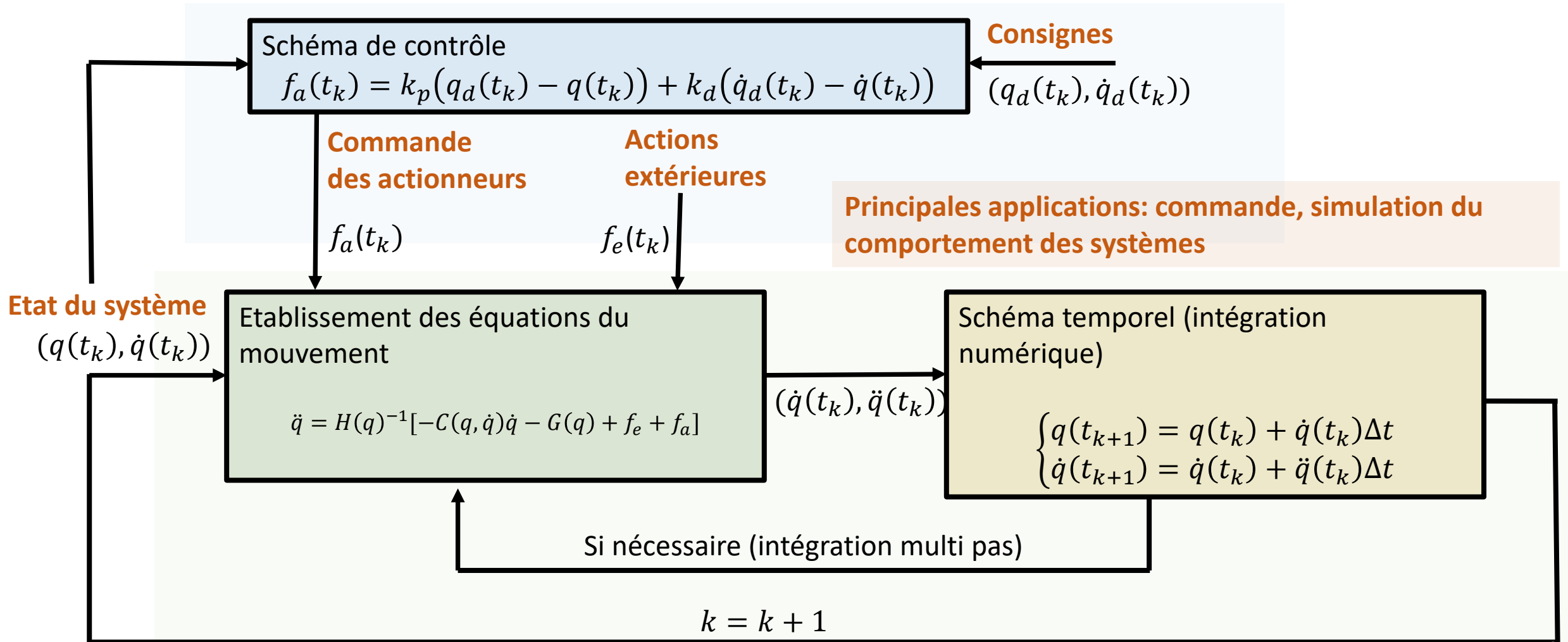
Efforts extérieurs

Efforts des actionneurs

Les  $n_q$  équations peuvent prendre la forme suivante



# Dynamique directe



# Problématique: Intégration d'équations différentielles

$x$  état du système à un instant  $t$ ,

$u$  commande de ce système

$y$  sortie observée du système (les variables que l'on veut contrôler en d'autres termes).

$$\begin{cases} \dot{x} = f(x) + g(x)u \\ y = h(x) \end{cases}$$

→ 2 « challenges »: établissement des équations régissant l'évolution du système

→ Résolution de ces équations (schéma d'intégration temporelle)



# Application à la dynamique des solides rigides

Nécessité d'intégrer  $\ddot{\mathbf{q}}_i(\mathbf{t}_k)$  afin de mettre à jour l'état du système mécanique  $[\dot{q}(t_k), q(t_k)]$



# Application à la dynamique des solides rigides

Les équations de la dynamique nous donnent un vecteur de  $n_q$  accélérations articulaires:

$$\ddot{q} = H(q)^{-1}[-C(q, \dot{q})\dot{q} - G(q) + f_e + f_a] \quad \text{Problème: équation du 2<sup>nd</sup> ordre !}$$

Ce qui peut être mis sous la forme d'un système d'équation différentielles du premier ordre en exploitant les dérivées successives de  $q$ , soit

$$x = \begin{pmatrix} q \\ \dot{q} \end{pmatrix} \text{ vecteur de longueur } 2n_q$$

L'état du système peut être décrit à tout instant  $t_k$  par  $x(t_k) = [q(t_k), \dot{q}(t_k)]$

$$\begin{cases} \dot{x} = f(x) + g(x)u \\ y = h(x) \end{cases}$$

$$\dot{x} = \begin{pmatrix} \dot{q} \\ \ddot{q} \end{pmatrix} = \begin{bmatrix} x(n_{q+1}:2n_q) \\ \underbrace{H(q)^{-1}[-C(q, \dot{q})\dot{q} - G(q)]}_{f(x)} + \underbrace{H(q)^{-1}[f_e + f_a]}_{g(x)u} \end{bmatrix}$$



# Méthodes d'euler

$$\left\{ \begin{array}{l} \dot{x}_{t_k} = \frac{x_{t_{k+1}} - x_{t_k}}{\Delta t} + \partial(\Delta t) \quad \text{Différence avant d'ordre 1} \\ \dot{x}_{t_k} = \frac{x_{t_k} - x_{t_{k-1}}}{\Delta t} + \partial(\Delta t) \quad \text{Différence arrière d'ordre 1} \\ \dot{x}_{t_k} = \frac{x_{t_{k+1}} - x_{t_{k-1}}}{2\Delta t} + \partial(\Delta t^2) \quad \text{Différence centrée d'ordre 2} \end{array} \right.$$

Différences finies

$$\dot{x} = f(x) + g(x)u$$

$$x_{t_{k+1}} = x_{t_k} + \Delta t [f(x_{t_k}) + g(x_{t_k})u_{t_k}] + \partial(\Delta t^2) \quad \text{Euler explicite ( + très simple, - très instable)}$$

$$x_{t_{k+1}} = x_{t_k} + \Delta t [f(x_{t_{k+1}}) + g(x_{t_{k+1}})u_{t_{k+1}}] + \partial(\Delta t^2) \quad \text{Euler implicite ( + inconditionnellement stable, - compliquée à résoudre)}$$

Peu adapté aux équations de la dynamique (principalement en raison de l'instabilité de l'Euler explicite qui supporte mal les grandes accélérations)



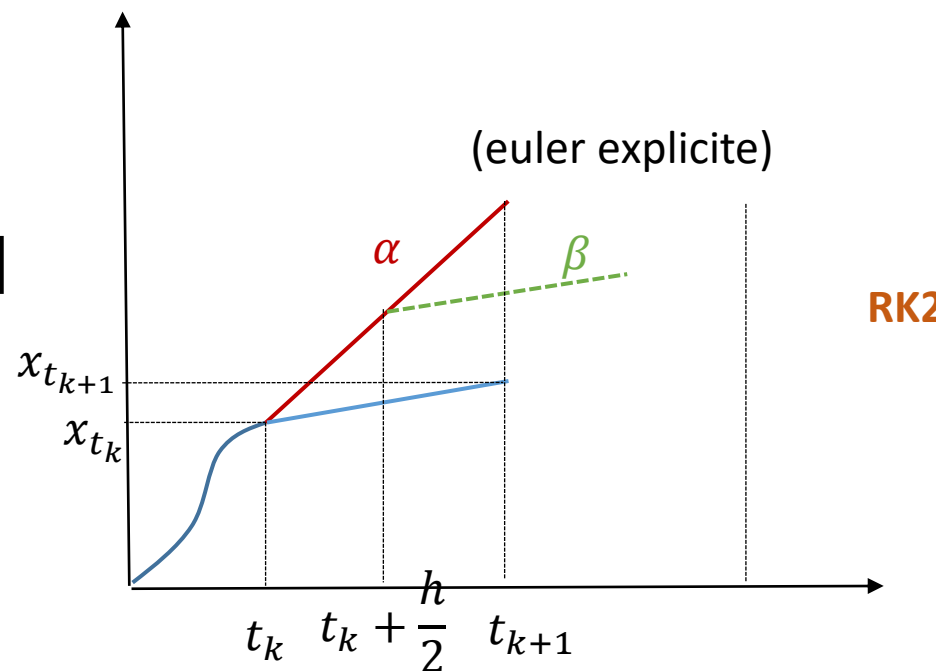
# Méthodes à pas intermédiaire

## La plus répandue: méthode de Runge-Kutta (d'ordre 2 ou 4)

Basée sur les estimées intermédiaires successives obtenues par itération

$$\dot{x} = f(x) + g(x)u$$

$$\begin{cases} \alpha = \Delta t [f(x_{t_k}) + g(x_{t_k})u_{t_k}] \\ \beta = \Delta t [f(x_{t_k} + \alpha/2) + g(x_{t_k} + \alpha/2)u_{t_k + \Delta t/2}] \\ x_{t_{k+1}} = x_{t_k} + \beta + \partial(\Delta t^3) \end{cases}$$





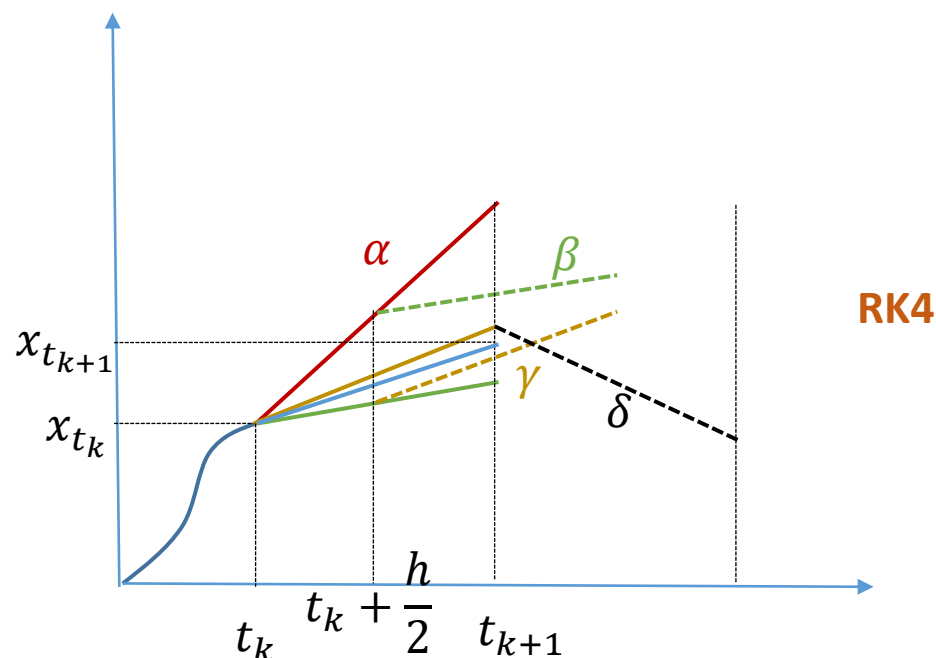
# Méthodes à pas intermédiaire

La plus répandue: **méthode de Runge-Kutta** (d'ordre 2 ou 4)

Basée sur les estimées intermédiaires successives obtenues par itération

$$\dot{x} = f(x) + g(x)u$$

$$\begin{cases} \alpha = \Delta t [f(x_{t_k}) + g(x_{t_k})u_{t_k}] \\ \beta = \Delta t [f(x_{t_k} + \alpha/2) + g(x_{t_k} + \alpha/2)u_{t_k + \Delta t/2}] \\ \gamma = \Delta t [f(x_{t_k} + \beta/2) + g(x_{t_k} + \beta/2)u_{t_k + \Delta t/2}] \\ \delta = \Delta t [f(x_{t_k} + \gamma) + g(x_{t_k} + \gamma)u_{t_k + \Delta t}] \\ x_{t_{k+1}} = x_{t_k} + \frac{1}{6}(\alpha + 2\beta + 2\gamma + \delta) + \mathcal{O}(\Delta t^5) \end{cases}$$



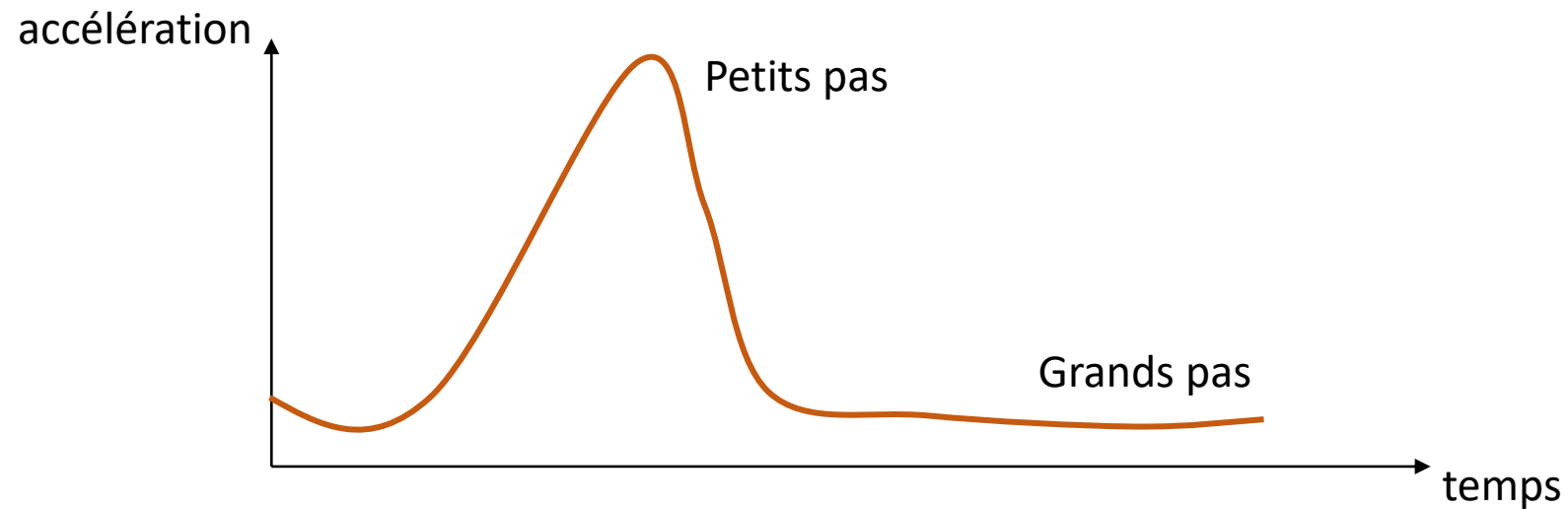
**Beaucoup plus stable qu'Euler, mais nécessite un pas d'intégration petit pour être « bon » sur des systèmes « raides »**



# Méthodes à pas variable

Dynamique avec des accélérations très variables → intégrateurs à pas variable type “ode45” (Dormand-Prince)

Dynamique avec des systèmes raides → intégrateurs à pas variable et interpolation du pas de temps (multistep) type « ode15s » (intégrateur basé différences finies d'ordre 1 à 5)



Dormand-Prince est la méthode implémentée dans matlab sous le nom “ode45”

```
>> help ode45
```

```
ODE45 Solve non-stiff differential equations, medium order method.
```

```
[TOUT,YOUT] = ODE45(ODEFUN,TSPAN,Y0) with TSPAN = [T0 TFINAL]  
integrates the system of differential equations  $y' = f(t,y)$  from  
time T0 to TFINAL with initial conditions Y0.
```

**ODEFUN** is a function handle. For a scalar T and a vector Y,  
**ODEFUN**(T,Y) must return a column vector corresponding to  $f(t,y)$ .

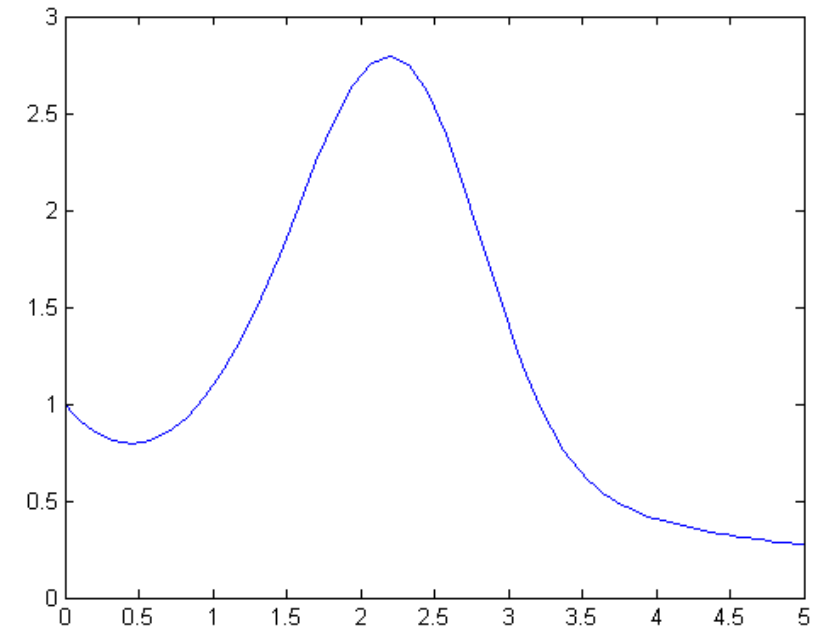
Each row in the solution array **YOUT** corresponds to a time  
returned in the column vector **TOUT**.

# Un exemple

Pour l'équation différentielle  $y^{(1)}(t) = y(t)(2-t)t + t - 1$   
On peut appeler  $y(0) = 1$

```
function [dy] = f3a( t, y )  
    dy = y*(2 - t)*t + t - 1;  
end
```

```
>> [t3a, y3a] = ode45( @f3a, [0, 5], 1 );  
>> plot( t3a, y3a );
```



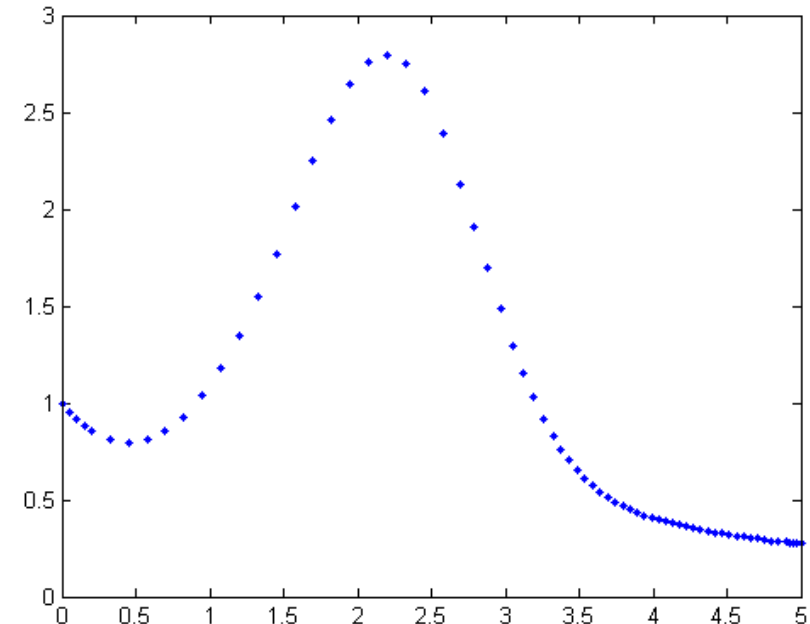
# Intéressant

Si l'on trace la courbe solution

```
>> plot( t3a, y3a, '.' );
```

Les points sont plus serrés à droite

- Dormand-Prince est adaptative – elle adapte le pas d'intégration à la fonction à intégrer



# Méthodes adaptatives (à pas adaptatif)

Comment sait-on qu'il faut changer le pas d'intégration ?

On suppose que l'on a deux algorithmes (deux schémas d'intégration), dont l'un est supposé plus performant que l'autre

- Par exemple, Euler et runge Kutta 2
- Pour un point  $(t_k, y_k)$ , on utilise les deux pour calculer le point suivant:

$$K_1 = f(t_k, y_k)$$

$$K_2 = f(t_k + h, y_k + hK_1)$$

$$y_{\text{tmp}} = y_k + hK_1 \quad \leftarrow \text{Euler}$$

$$z_{\text{tmp}} = y_k + h \frac{K_1 + K_2}{2} \quad \leftarrow \text{RK2}$$



# Exemple

Par exemple, pour la fonction suivante:

$$y^{(1)}(t) = -y(t)$$

$$y(0) = 1$$

On suppose que l'on veut approximer  $y(0.1)$ . On part avec un pas d'intégration initial de  $h = 0.1$  et on veut que l'erreur finale sur l'intégration soit inférieure à  $e_{\text{abs}} = 0.001$

$$K_1 = f(0,1) = -1$$

$$K_2 = f(0.1, 1 + 0.1K_1) = -0.9$$

$$y_{\text{tmp}} = 1 + 0.1(-1) = 0.9 \quad \leftarrow \text{Euler}$$

$$z_{\text{tmp}} = 1 + 0.1 \frac{(-1) + (-0.9)}{2} = 0.905 \quad \leftarrow \text{RK2}$$



# Exemple

Nous avons donc deux approximations

- La première est bonne, la deuxième est meilleure

$$y_{\text{tmp}} = 0.9$$

$$z_{\text{tmp}} = 0.905$$

La valeur théorique est de  $e^{-0.1} = 0.9048374180\dots$

- L'erreur théorique sur  $y_{\text{tmp}}$  est

$$|y_{\text{tmp}} - e^{-0.1}| = |0.9 - 0.9048374180| = 0.0048374180$$

- En utilisant  $z_{k+1}$ , l'erreur approximée est de

$$|y_{\text{tmp}} - z_{\text{tmp}}| = |0.9 - 0.905| = 0.005$$





## Exemple

On peut donc sans doute utiliser l'erreur  $|y_{tmp} - z_{tmp}| = 0.005$  comme une approximation de l'erreur théorique sur  $y_{tmp}$

Cette erreur est plus grande que celle voulue  $e_{abs} = 0.001$

→ on doit donc utiliser une valeur de  $h$  plus faible

## Exemple

On sait que Euler a une erreur quadratique, de l'ordre  $O(h^2)$ , soit

$$|y_{\text{tmp}} - z_{\text{tmp}}| = Ch^2$$

pour une certaine valeur de  $C$

Si on diminue  $h$  à l'aide d'un facteur d'échelle  $s$ , l'erreur sera  $C(sh)^2$ :

$$C(sh)^2 < \varepsilon_{\text{abs}}$$



# Exemple

Seulement, on veut que l'erreur  $e_{\text{abs}}$  soit obtenue à 0.1

Donc la contribution du pas  $k$  sur l'erreur doit être relative à la taille du pas par rapport à la longueur totale de l'intervalle d'intégration.

$$C(sh)^2 < \varepsilon_{\text{abs}} \frac{sh}{t_f - t_0}$$

- Pour être sûr d'avoir une erreur maîtrisée, on fait le choix

$$C(sh)^2 = \frac{1}{2} \varepsilon_{\text{abs}} \frac{sh}{t_f - t_0} = \frac{\varepsilon_{\text{abs}} sh}{2(t_f - t_0)}$$

# Exemple

A partir des deux équations:

$$\left| y_{\text{tmp}} - z_{\text{tmp}} \right| = Ch^2 \quad C(sh)^2 = \frac{\varepsilon_{\text{abs}} sh}{2(t_f - t_0)}$$

On obtient alors :

$$Cs^2 h^2 = \frac{\varepsilon_{\text{abs}} sh}{2(t_f - t_0)}$$

$$s(Ch^2) = \frac{\varepsilon_{\text{abs}} h}{2(t_f - t_0)}$$

Ce qui donne en substituant  $Ch^2$ :

$$s \left| y_{\text{tmp}} - z_{\text{tmp}} \right| = \frac{\varepsilon_{\text{abs}} h}{2(t_f - t_0)}$$

# Exemple

A partir de là:

$$s |y_{\text{tmp}} - z_{\text{tmp}}| = \frac{\varepsilon_{\text{abs}} h}{2(t_f - t_0)}$$

On obtient alors le facteur d'échelle  $s$

$$s = \frac{\varepsilon_{\text{abs}} h}{2(t_f - t_0) |y_{\text{tmp}} - z_{\text{tmp}}|}$$

# Exemple

Dans cet exemple

$$h = 0.1$$

$$\varepsilon_{\text{abs}} = 0.001$$

$$|y_{\text{tmp}} - z_{\text{tmp}}| = 0.005$$

$$[t_0, t_f] = [0, 0.1]$$

Ce qui donne

$$s = \frac{\varepsilon_{\text{abs}} h}{2(t_f - t_0) |y_{\text{tmp}} - z_{\text{tmp}}|} = \frac{0.001 \cdot 0.1}{2 \cdot 0.1 \cdot 0.005} = 0.1$$

Pour obtenir le bon résultat, il faut donc réduire le pas d'un facteur 10

# Exemple

A présent, en utilisant  $h = 0.01$ , on a

$$K_1 = f(0,1) = -1$$

$$K_2 = f(0.01, 1 + 0.01 \cdot K_1) = -0.99$$

$$y_{\text{tmp}} = 1 + 0.01(-1) = 0.99 \quad \leftarrow \text{Euler}$$

$$z_{\text{tmp}} = 1 + 0.01 \frac{(-1) + (-0.99)}{2} = 0.99005 \quad \leftarrow \text{RK2}$$

La vraie valeur en ce point est  $e^{-0.031} = 0.9900498337\dots$

- L'erreur absolue avec la méthode d'Euler est alors  $0.0000498337\dots$  ce qui est du même ordre que

$$\frac{\varepsilon_{\text{abs}} h}{2(t_f - t_0)} = 0.00005$$

- Utiliser  $y_{\text{tmp}}$  comme approximation de  $y_{k+1}$

Ce n'est pas toujours une bonne idée d'adapter le pas de temps

$$h = s * h;$$

Car  $s$  peut être très grand ou très petit.

Il est plus adapté d'être un peu conservatif, c'est à dire d'imaginer que  $h$  ne change pas trop à court terme.

- Si  $s \geq 2$ , doubler la valeur  $h$
- If  $1 \leq s < 2$ , garder  $h$  inchangé, et
- If  $s < 1$ , diviser par deux la valeur de  $h$  et recalculer le point suivant



Dormand-Prince calcule 7 pentes différentes

$$K_1, K_2, K_3, K_4, K_5, K_6, \text{ et } K_7$$

Ces pentes sont exploitées dans deux combinaisons linéaires différentes permettant d'approximer le point suivant

- La première est  $O(h^4)$  et la seconde  $O(h^5)$
- Les coefficients de la solution  $O(h^5)$  sont choisis pour minimiser son erreur
- On exploite alors ces deux approximations pour estimer  $s$ :

$$s = \sqrt[4]{\frac{h\varepsilon_{\text{abs}}}{2(t_f - t_0)|y_{\text{tmp}} - z_{\text{tmp}}|}}$$

# Tableau de Butcher

$$\begin{array}{c|c} \mathbf{c} & \mathbf{A} \\ \hline & \mathbf{b} \end{array}$$

Représentation générique d'un schema d'integration multipas (le Coeur de l'algorithme est alors inchangé)

RK2

$$\begin{array}{c|cc} 0 & & \\ 1 & 1 & \\ \hline & \frac{1}{2} & \frac{1}{2} \end{array}$$

RK4

$$\begin{array}{c|cccc} 0 & & & & \\ \frac{1}{2} & 1 & & & \\ \frac{1}{2} & 0 & 1 & & \\ 1 & 0 & 0 & 1 & \\ \hline & \frac{1}{6} & \frac{1}{3} & \frac{1}{3} & \frac{1}{6} \end{array}$$

# Implémentation RK4 avec le tableau de Butcher

```
A = [0 0 0 0
      1 0 0 0
      0 1 0 0
      0 0 1 0]';
c = [0 1/2 1/2 1]';
b = [1/6 1/3 1/3 1/6]';
```

$$K_1 = f(t_k, y_k)$$

$$K_2 = f\left(t_k + \frac{1}{2}h, y_k + \frac{1}{2}h \cdot K_1\right)$$

$$K_3 = f\left(t_k + \frac{1}{2}h, y_k + \frac{1}{2}h \cdot K_2\right)$$

$$K_4 = f(t_k + h, y_k + h \cdot K_3)$$

$$y_{k+1} = y_k + h\left(\frac{1}{6}K_1 + \frac{1}{3}K_2 + \frac{1}{3}K_3 + \frac{1}{6}K_4\right)$$

```
t0 = t_rng(1);
tf = t_rng(2);
h = (tf - t0)/(n - 1);
t_out = linspace( t0, tf, n );
y_out = zeros( 1, n );
y_out(1) = y0;
k_n = 4;

for k = 1:(n - 1)
    K = zeros( 1, k_n );

    for m = 1:k_n
        K(m) = f( t_out(k) + h*c(m), ...
                  y_out(k) + h*c(m)*K*A(:,m) );
    end

    y_out(k + 1) = y_out(k) + h*K*b;
end
```

# Le tableau de Butcher modifié de Dormand-Prince

0								
$\frac{1}{5}$	1							
$\frac{3}{10}$	$\frac{1}{4}$	$\frac{3}{4}$						
$\frac{4}{5}$	$\frac{11}{9}$	$-\frac{14}{3}$	$\frac{40}{9}$					
$\frac{8}{9}$	$\frac{4843}{1458}$	$-\frac{3170}{243}$	$\frac{8056}{729}$	$-\frac{53}{162}$				
1	$\frac{9017}{3168}$	$-\frac{355}{33}$	$\frac{46732}{5247}$	$\frac{49}{176}$	$-\frac{5103}{18656}$			
1	$\frac{35}{384}$	0	$\frac{500}{113}$	$\frac{125}{192}$	$-\frac{2187}{6784}$	$\frac{11}{84}$		
	$\frac{5179}{57600}$	0	$\frac{7571}{16695}$	$\frac{393}{640}$	$-\frac{92097}{339200}$	$\frac{187}{2100}$	$\frac{1}{40}$	$O(h^4)$
	$\frac{35}{384}$	0	$\frac{500}{1113}$	$\frac{125}{192}$	$-\frac{2187}{6784}$	$\frac{11}{84}$	0	$O(h^5)$

# Chaque ligne donne 1

0							
$\frac{1}{5}$	$\xrightarrow{1}$						
$\frac{3}{10}$	$\xrightarrow{\frac{1}{4} \quad \frac{3}{4}}$						
$\frac{4}{5}$	$\xrightarrow{\frac{11}{9} \quad -\frac{14}{3} \quad \frac{40}{9}}$						
$\frac{8}{9}$	$\xrightarrow{\frac{4843}{1458} \quad -\frac{3170}{243} \quad \frac{8056}{729} \quad -\frac{53}{162}}$						
1	$\xrightarrow{\frac{9017}{3168} \quad -\frac{355}{33} \quad \frac{46732}{5247} \quad \frac{49}{176} \quad -\frac{5103}{18656}}$						
1	$\xrightarrow{\frac{35}{384} \quad 0 \quad \frac{500}{113} \quad \frac{125}{192} \quad -\frac{2187}{6784} \quad \frac{11}{84}}$						
	$\xrightarrow{\frac{5179}{57600} \quad 0 \quad \frac{7571}{16695} \quad \frac{393}{640} \quad -\frac{92097}{339200} \quad \frac{187}{2100} \quad \frac{1}{40}}$						
	$\xrightarrow{\frac{35}{384} \quad 0 \quad \frac{500}{1113} \quad \frac{125}{192} \quad -\frac{2187}{6784} \quad \frac{11}{84} \quad 0}$						

# En Matlab...

```
A = [ 0      0      0      0      0      0      0;
      1      0      0      0      0      0      0;
      1/4    3/4    0      0      0      0      0;
      11/9   -14/3   40/9   0      0      0      0;
      4843/1458 -3170/243 8056/729 -53/162 0      0      0;
      9017/3168 -355/33 46732/5247 49/176 -5103/18656 0      0;
      35/384    0      500/1113 125/192 -2187/6784 11/84 0]';
```

```
by = [5179/57600 0 7571/16695 393/640 -92097/339200 187/2100 1/40]';
```

```
bz = [ 35/384 0 500/1113 125/192 -2187/6784 11/84 0]';
```

```
c = [0 1/5 3/10 4/5 8/9 1 1]';
```

## Avec le code...

```
A = [...]' ;
c = [...]' ;
by = [...]' ;
bz = [...]' ;

// ...

n_K = 7;
K = zeros( 1, n_K );

for m = 1:n_K
    K(m) = f( t_out(k) + h*c(m), ...
             y_out(k) + h*c(m)*K*A(:,m) );
end

y_tmp = y_out(k) + h*K*by;
z_tmp = y_out(k) + h*K*bz;

% Determine s and modify h as appropriate
```

Quelle valeur pour  $h$ ?

- Dans les méthodes type RK4, on définit le pas d'intégration, l'intervalle et le nombre de points

Pour Dormand-Prince, on donne une valeur initiale à  $h$

- ode45 adapte cette première valeur au problème  $h$

**On ne sait pas combien de points seront nécessaires pour faire le calcul sur l'intervalle**



```

% Initialize t_out and y_out
% Initialize our location to k = 1
%
% while t_out(k) < tf
%     Use Dormand Prince to find two approximations
%     y_tmp and z_tmp to approximate y(t) at
%     t = t_out(k) + h for the current value of h
%
%     Calculate the scaling factor 's'
%
%     if s >= 2,
%         We use z_tmp to approximate y_out(k + 1)
%         t_out(k + 1) is the previous t-value plus h
%         Increment k and double the value of h for the
%         next iteration.

```

```

%     else if s >= 1,
%         We use z_tmp to approximate y_out(k + 1)
%         t_out(k + 1) is the previous t-value plus h
%         In this case, h is neither too large or too
%         small, so only increment k
%     else s < 1
%         Divide h by two and try again with the smaller
%         value of h (just go through the loop again
%         without updating t_out, y_out, or k)
%     end
%
%     We must make one final check before we end the loop:
%     if t_out(k) + h > tf, we must reduce the
%     size of h so that t_out(k) + h == tf
% end

```

# Un essai !

```
[TOUT,YOUT] = ode45(@(t,Q) FD_planar_arm_modifie(t,Q,specs,Fext,tt,Tau,g),[0 tf],qfd_ini,options);
```

```
function dQ=FD_planar_arm_modifie(t,Q,specs,Fext,tt,Tau,g)
```

```
[...]
```

```
t1=interp1(tt,Tau(1,:),t);
```

```
t2=interp1(tt,Tau(2,:),t);
```

```
dQ=[...];
```

```
end
```

**Comme le pas est variable, il est nécessaire d'interpoler la valeur du couple à chaque évaluation de la fonction « FD\_planar\_arm » !**

- + Méthodes de description génériques des systèmes de solides rigides polyarticulés (et graphes associés)
- + Méthodes de résolution des équations de la dynamique (globales ou récursives)
- + Méthodes d'intégration d'équations différentielles

## + Méthodes adaptatives



**Simulation des systèmes de solides rigides polyarticulés**